

PESTO

Morphological Parameters Explaining Stent Thrombosis assessed by OCT

Geraud Souteyrand , Nicolas Amabile , Lionel Mangin , Xavier Chabin, Nicolas Meneveau, Guillaume Cayla , Gerald Vanzetto, Pierre Barnay, Charlotte Trouillet, Gilles Rioufoll, Gregoire Rangé , Emmanuel Teiger , Regis Delaunay, Olivier Dubreuil , Thibault Lhermusier, Aurélien Mulliez , Sébastien Levesque, Loïc Belle , Christophe Caussin and Pascal Motreff on the behalf of the PESTO investigators

Conflits d'intérets :

- Consultant : Saint-Jude Medical, Terumo, Abbott

PEST

ACS with ST+ coronarography in acute phase (<12h) due to stent thrombosis

(all types of stents, acute;subacute;late and very late)



Optimal thrombectomy
(mechanical and/or médics : thrombo-aspiration, anti Gpllb-IIIa...)



TIMI 3 flow obtained

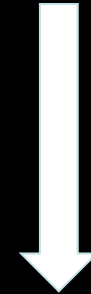
Consent patient

OCT faisable

If NO at 1 of 3 items :
No enrollment OCT, registry



YES



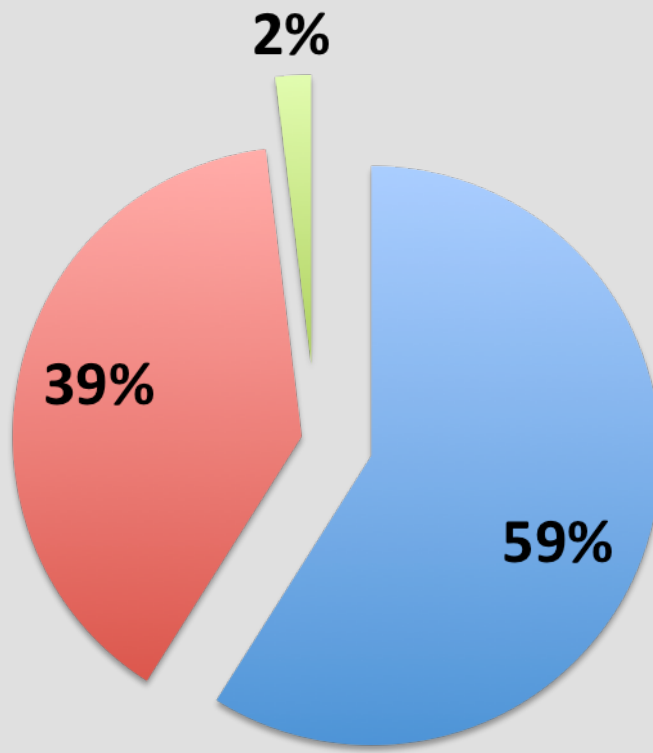
Note diagnose hypothesis and management before OCT
Immediate OCT or defered (MIMI, D1-D30) decided by the operator
Treatment guided by OCT

Caractéristiques patients

- N=120 sur 134 patients ont été inclus dans l'analyse finale (3 patients (2.4%) ont été exclus pour qualité d'imagerie non appropriée)**

Age (yrs)	61.6 ± 1.1
Male gender (%)	89
Previous ACS (%)	68
Active smoking (%)	35
Dyslipidemia (%)	86
Hypertension (%)	56
Diabetes (%)	28
Recent (<15 d) modification of antiplatelet therapy (%)	22
Presentation mode:	
STEMI (%)	82
NSTEMI (%)	17
Unstable Angina (%)	1

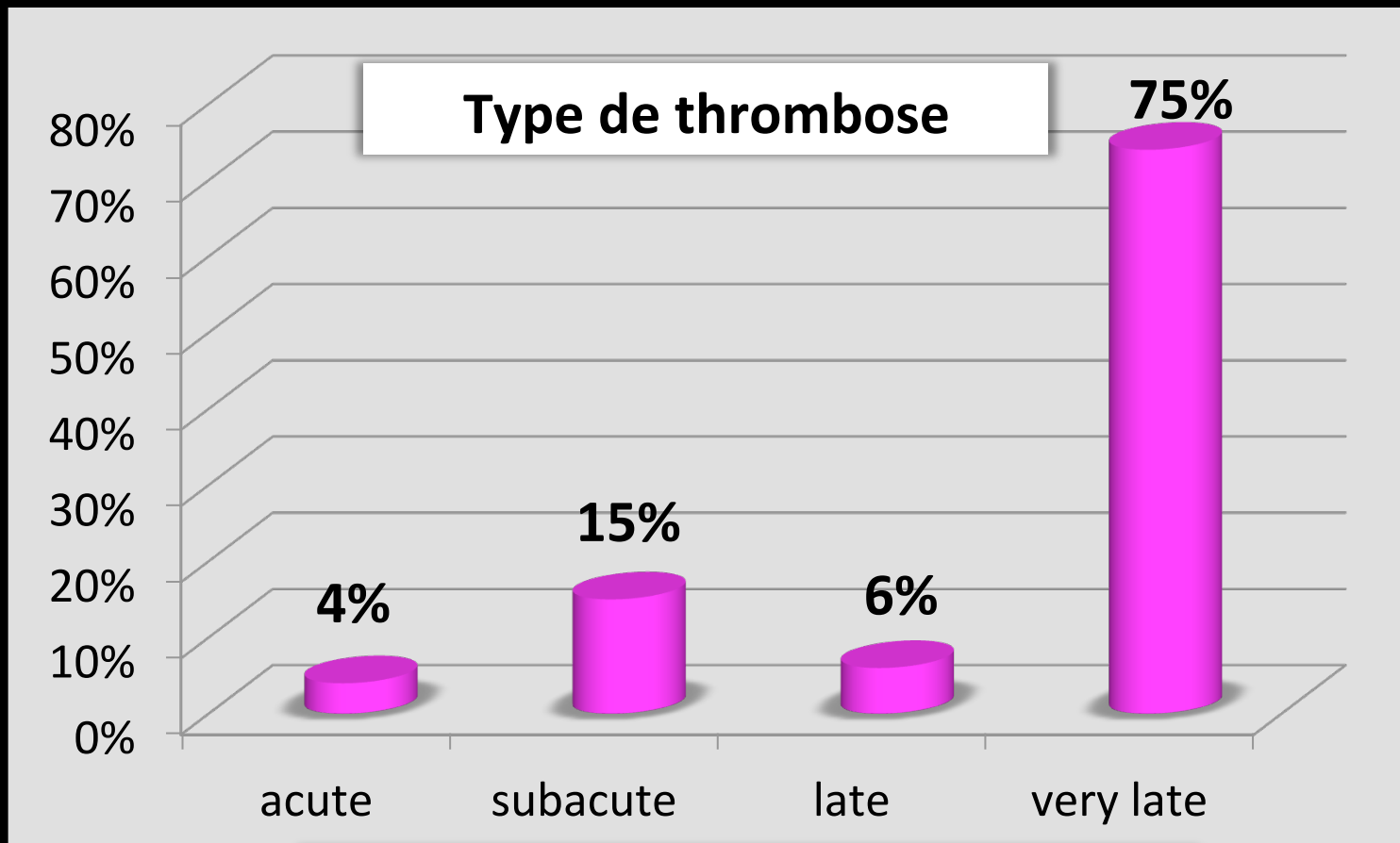
Type de stents



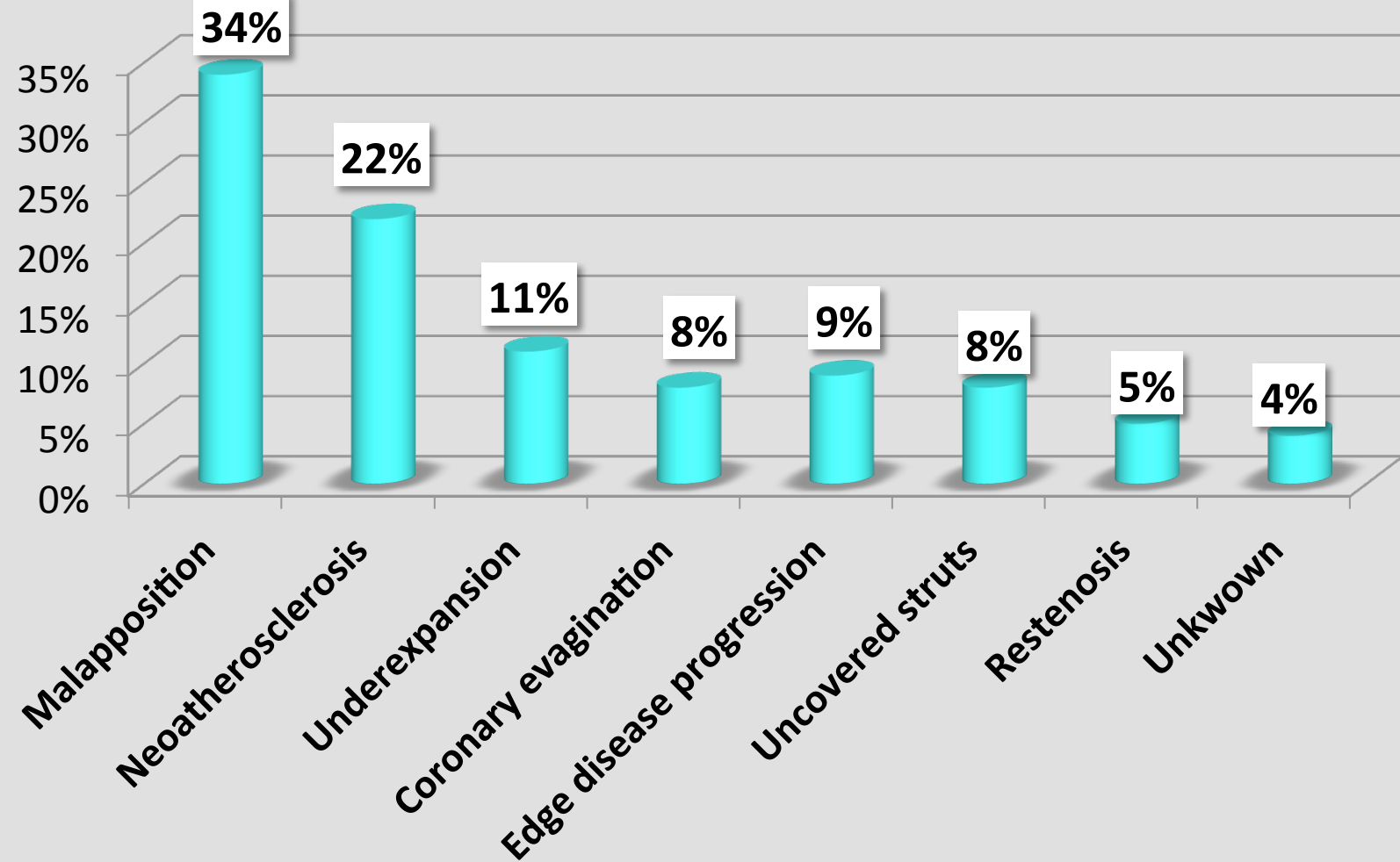
- Stents actifs
- Stents nus
- Bioresorbable Vascular Scaffold



Analyse de 120 patients



Réultats : analyse OCT de 120 patients



Mécanismes de thrombose de stent en fonction du délai

	Global (n=120)	Acute+ Subacute ST (n=23)	Late+ Very Late ST (n=97)	p
Malapposition (%)	34.2	47.8	30.9	0.12
Ruptured Neoatherosclerosis (%)	22.5	0	27.8	0.004
Underexpansion (%)	10.8	26.1	7.2	0.02
Coronary Evagination (%)	8.3	0	10.3	0.11
Edge related disease progression (%)	9	4.3	8.2	0.45
Isolated uncovered struts (%)	8.3	0	10.3	0.11
Neointimal hyperplasia (%)	5	0	5.2	0.34
Edge dissection (%)	1	4.3	0	0.19
No cause identified (%)	4	13	1	0.02

Mécanisme de thrombose en fonction du type de stent

	BMS (n=47)	DES (n=71)	p
Acute + Subacute ST (%)	19.1	18.3	0.91
Late + Very Late ST (%)	80.9	81.7	0.91
Index PCI to ST delay (y)	6.5±0.9	3.1±0.4	<0.001
Malapposition (%)	31.9	35.2	0.71
Ruptured Neoatherosclerosis (%)	36.2	14.1	0.005
Underexpansion (%)	6.4	12.7	0.22
Coronary Evagination (%)	2.1	12.7	0.04
Edge related disease progression (%)	12.8	4.2	0.09
Isolated uncovered struts (%)	4.3	11.3	0.16
Neointimal hyperplasia (%)	4.3	4.2	1.0
Edge dissection (%)	0	1.4	0.61
No cause identified (%)	0	5.6	0.13

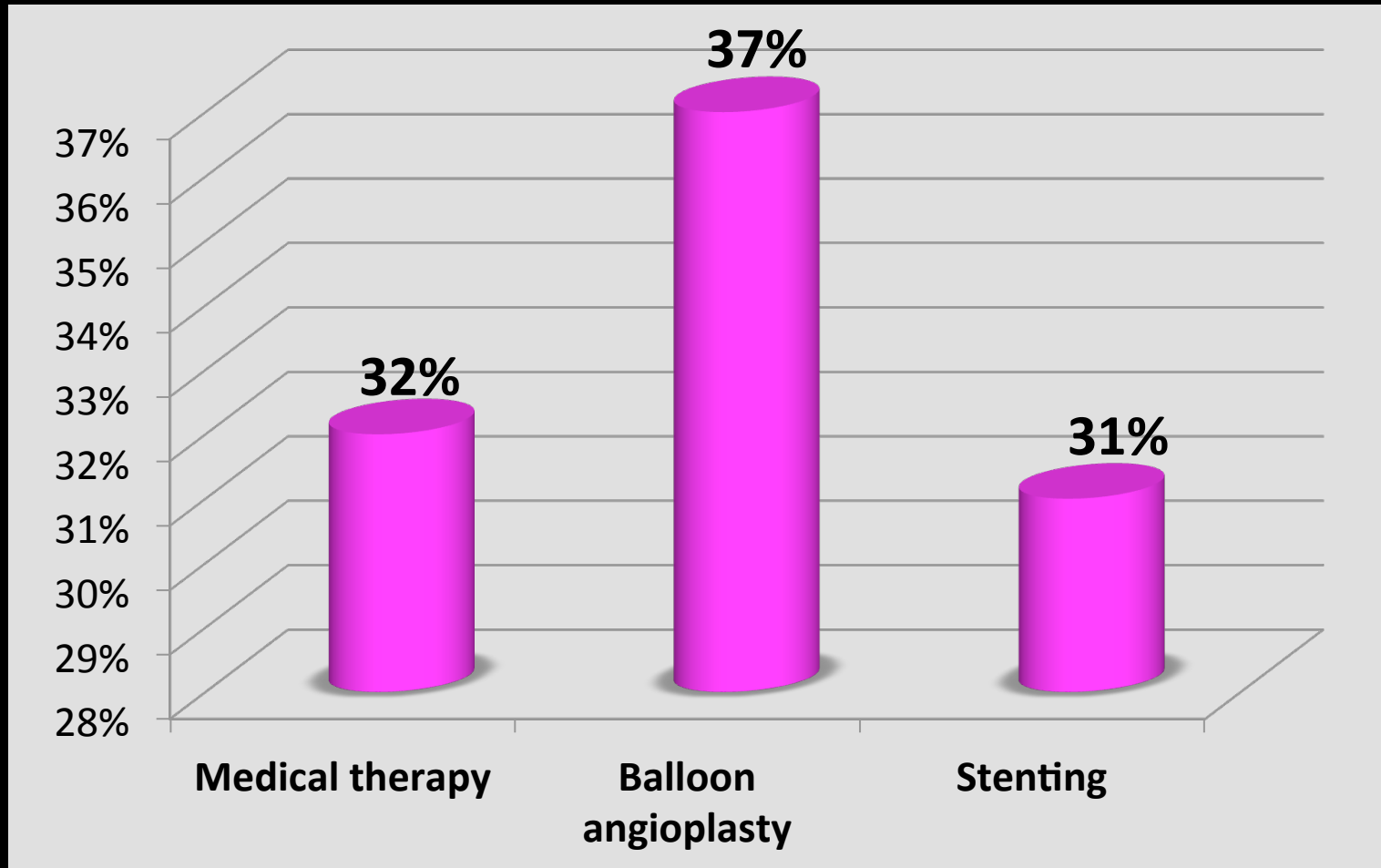
Mécanisme de thrombose en fonction du type de stent

	BMS (n=47)	DES (n=71)	p
Acute + Subacute ST (%)	19.1	18.3	0.91
Late + Very Late ST (%)	80.9	81.7	0.91
Index PCI to ST delay (y)	6.5±0.9	3.1±0.4	<0.001
Malapposition (%)	31.9	35.2	0.71
Ruptured Neoatherosclerosis (%)	36.2	14.1	0.005
Underexpansion (%)	6.4	12.7	0.22
Coronary Evagination (%)	2.1	12.7	0.04
Edge related disease progression (%)	12.8	4.2	0.09
Isolated uncovered struts (%)	4.3	11.3	0.16
Neointimal hyperplasia (%)	4.3	4.2	1.0
Edge dissection (%)	0	1.4	0.61
No cause identified (%)	0	5.6	0.13



Décision thérapeutique

Analyse 120 patients

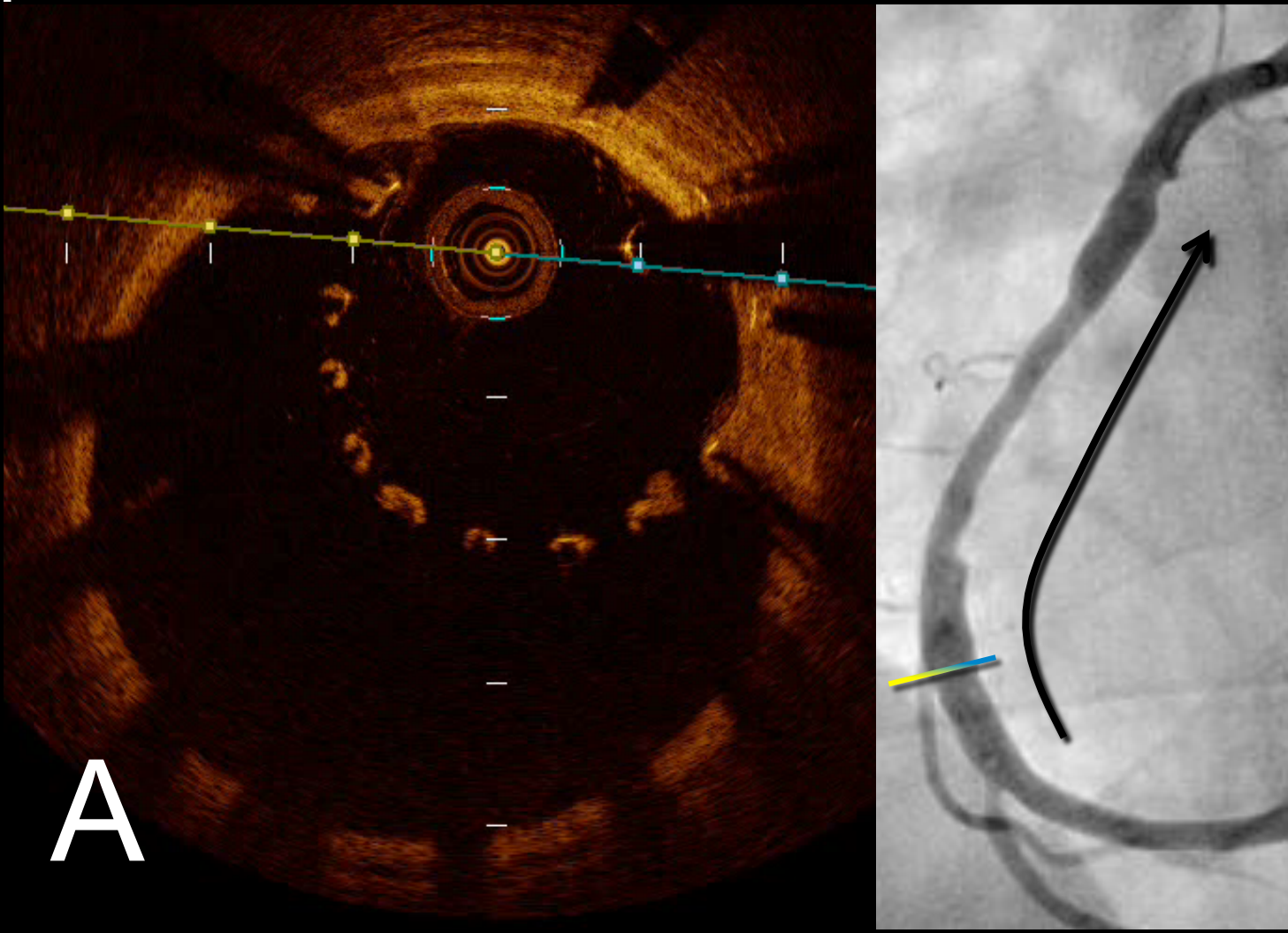
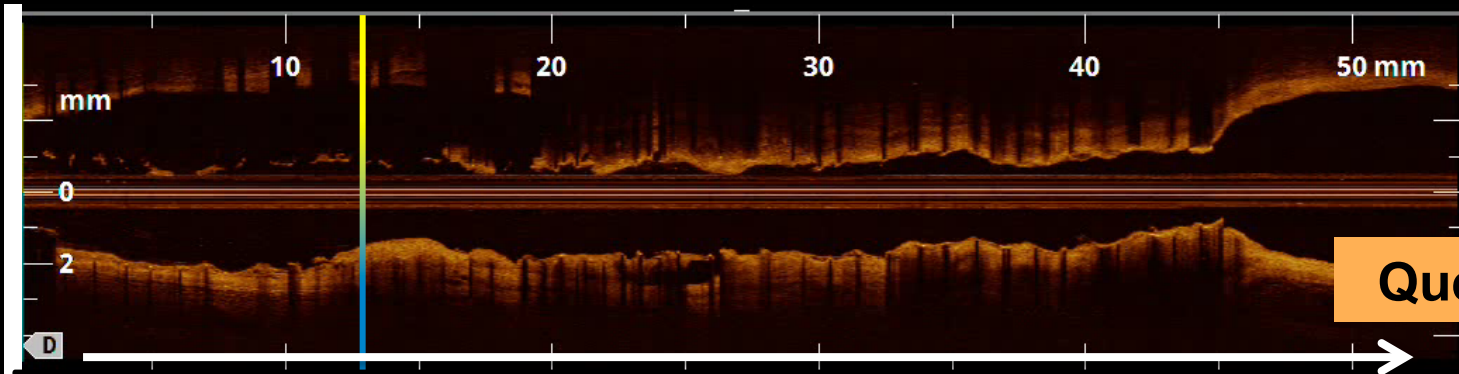




Analyse 120 patients

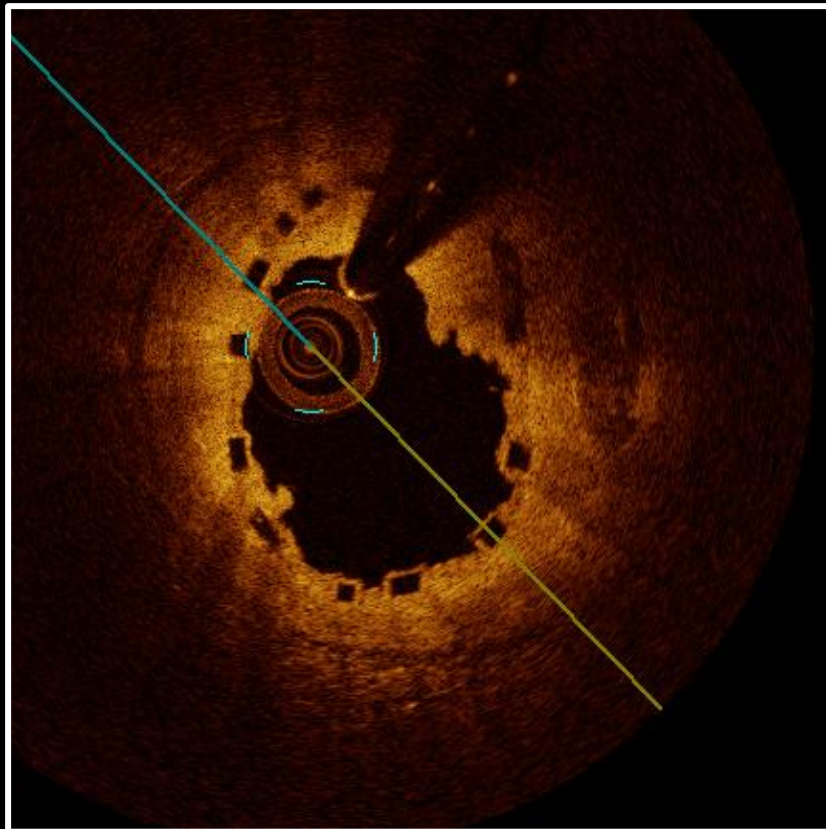
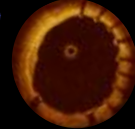
Cause	Coronarography
Undetermined	42 %
Probable	36 %
Certain	12 %

L'OCT influence la prise en charge dans 55% des cas

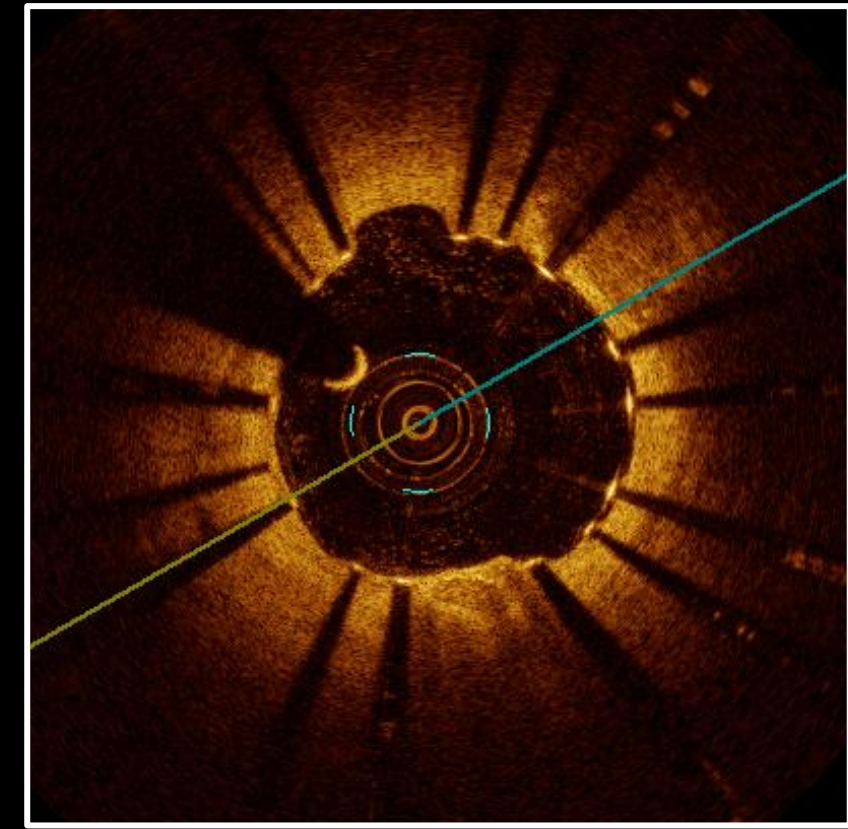




PEST



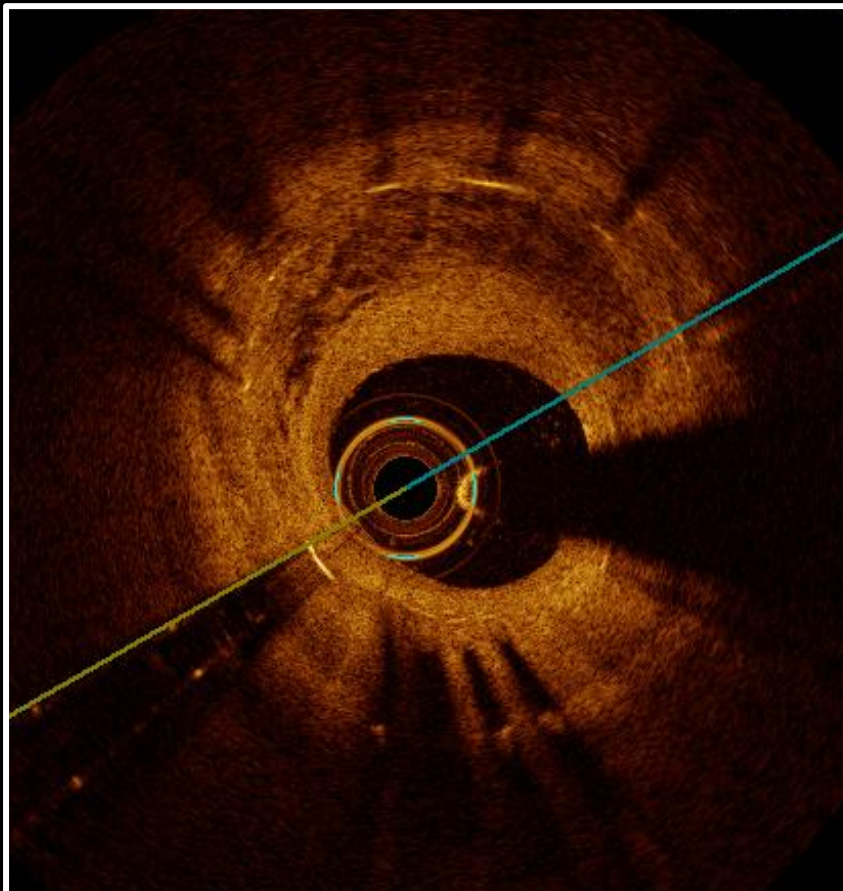
BVS sous-expansion



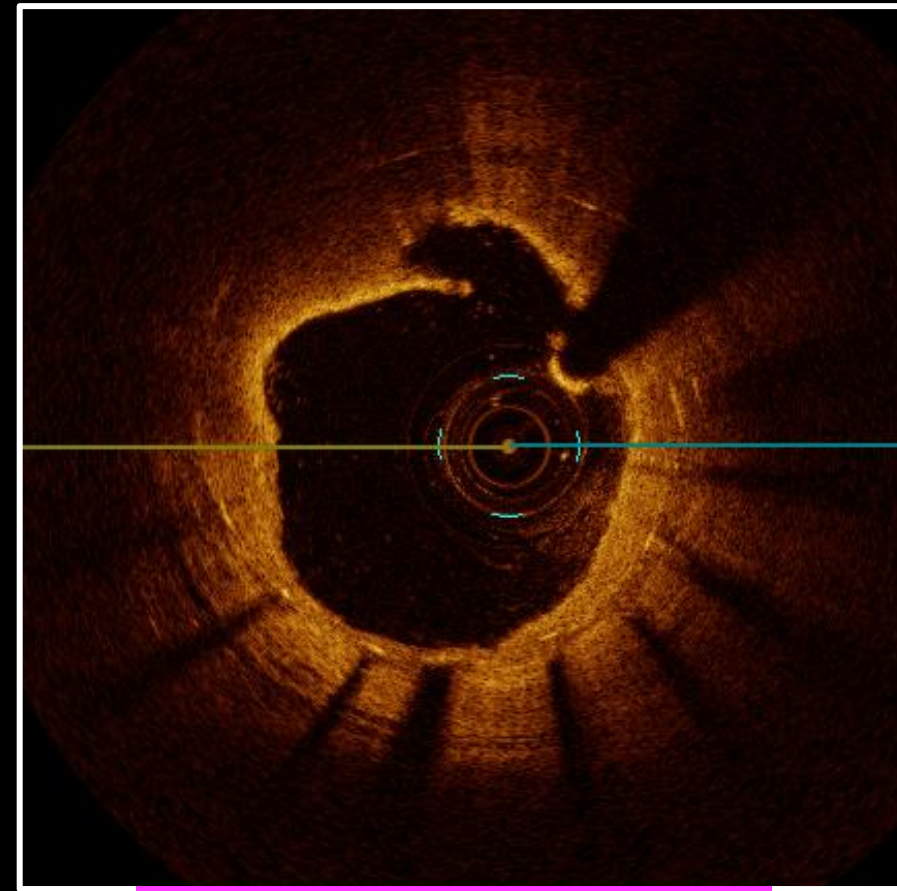
Struts non couvertes



PEST



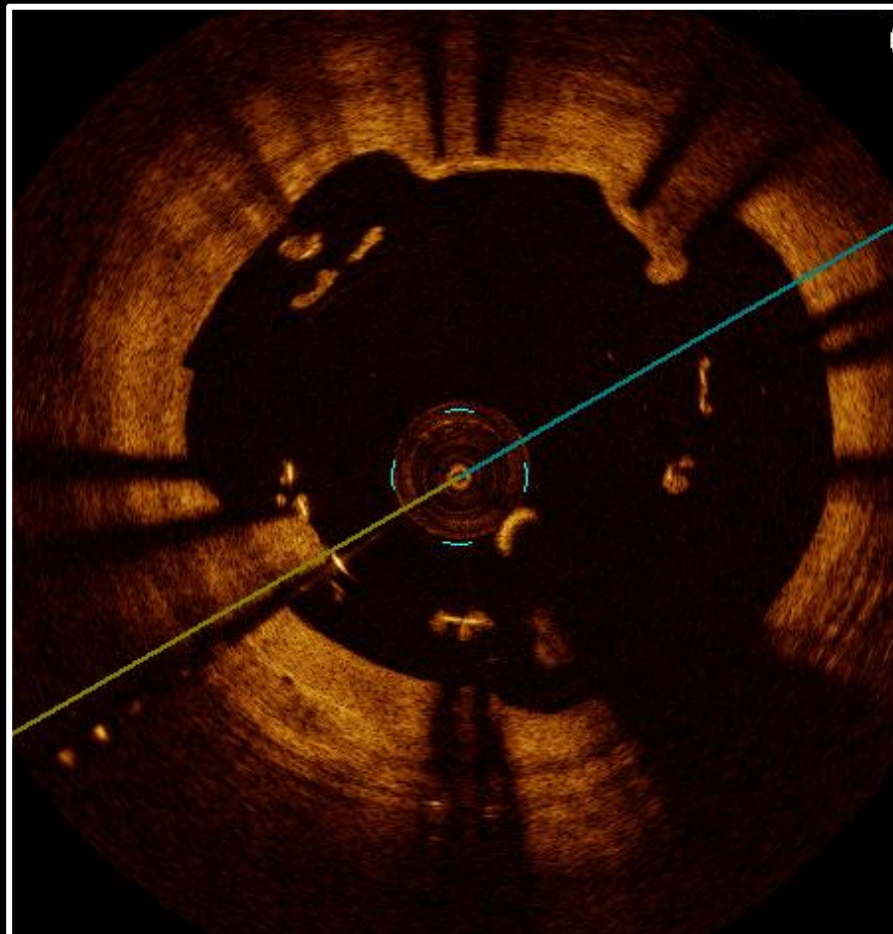
**Resténose avec néo-
athérosclérose**



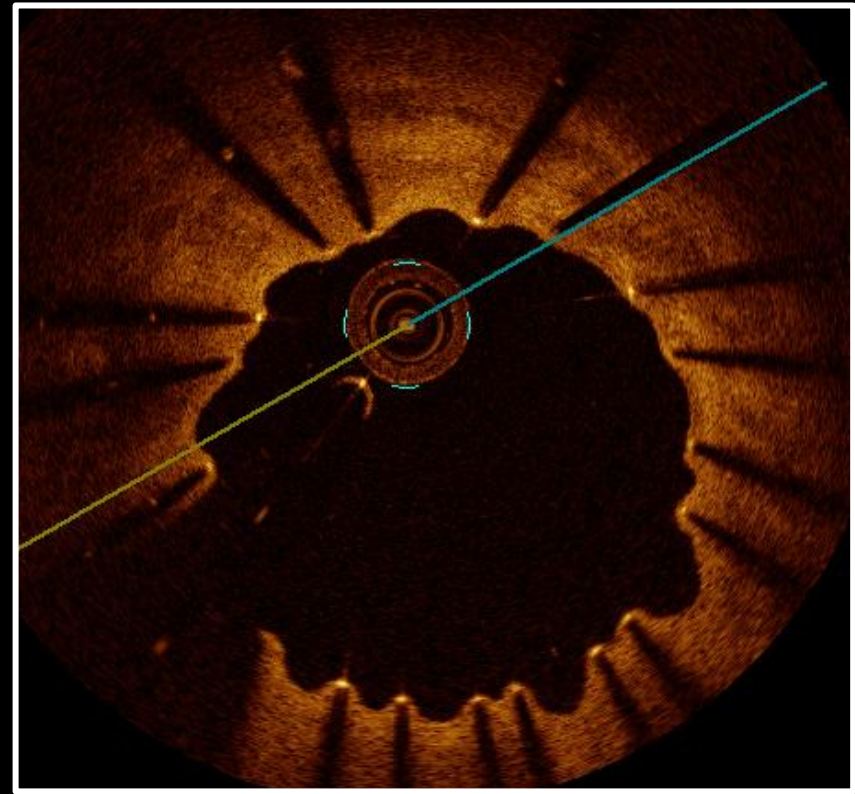
**Rupture de plaque
avec
neoatheroscleroze**



PEST



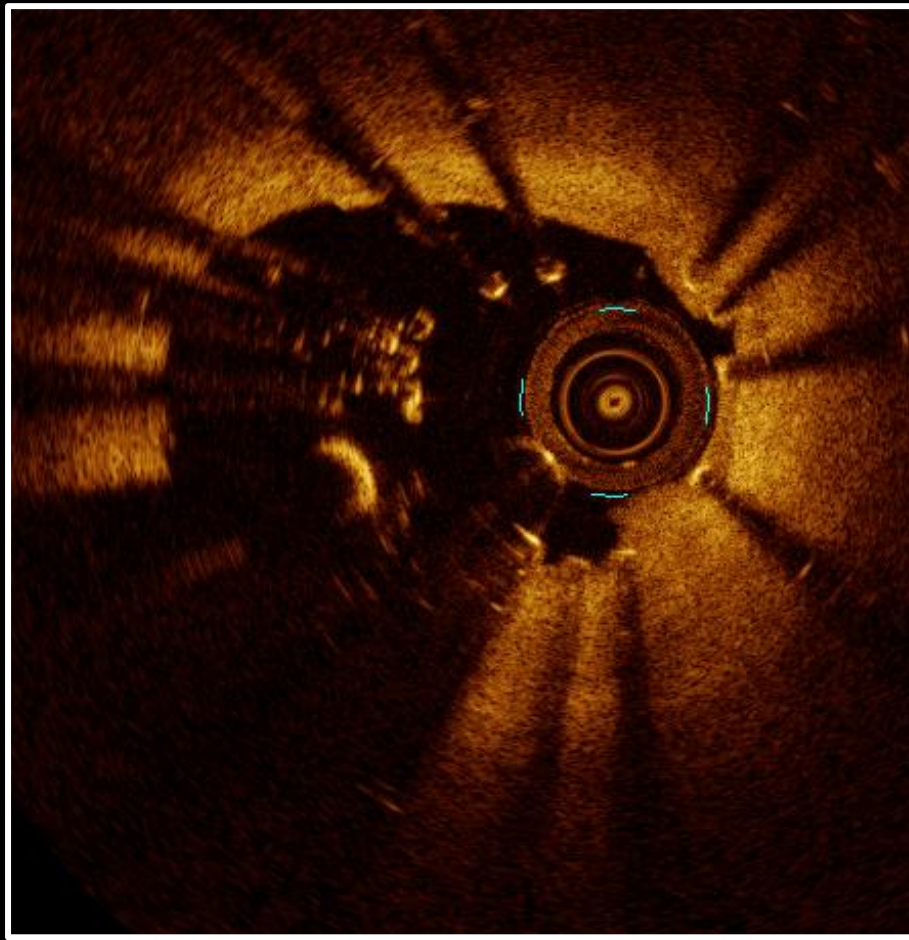
Malapposition



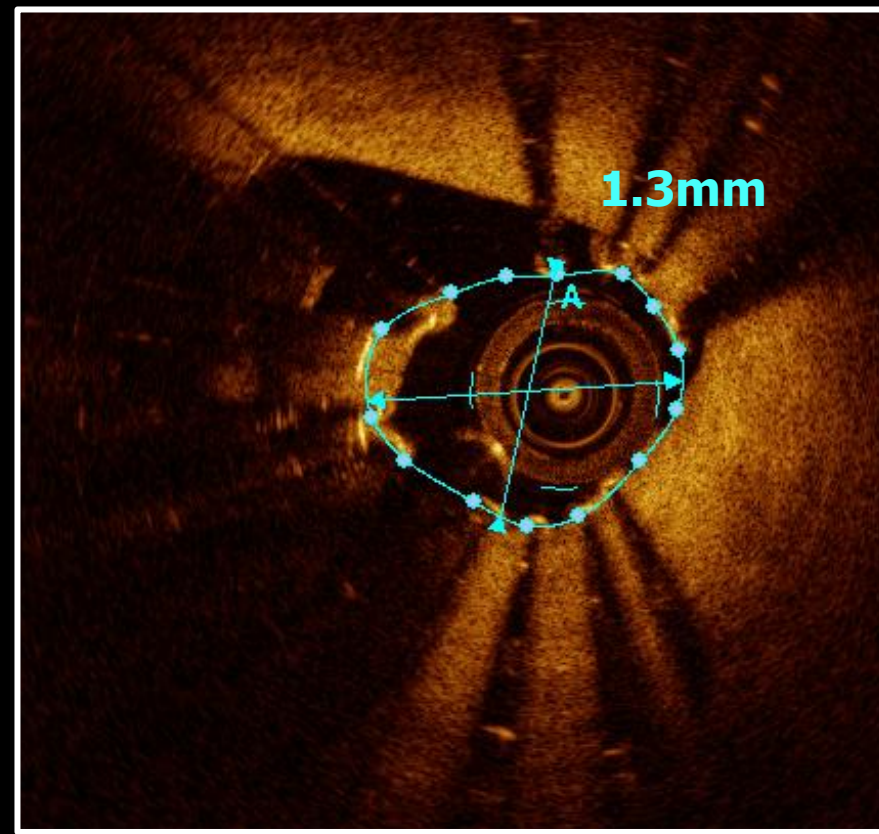
Mailles non couvertes
et évagination



PEST



DES sous-expansion



Conclusion

Limites de PESTO

Pas de données sur la résistance à l'anti-agrégation plaquettaire

Tous les patients présentant une thrombose de stent n'ont pas été inclus dans l'étude durant la période (délais tardifs, pas de rétablissement flux TIMI 3..)

Limites de l'OCT : lésions distales, lésions non franchies

Conclusion

La thrombose de stent

L'angiographie ne semble pas suffisante dans la majorité des cas

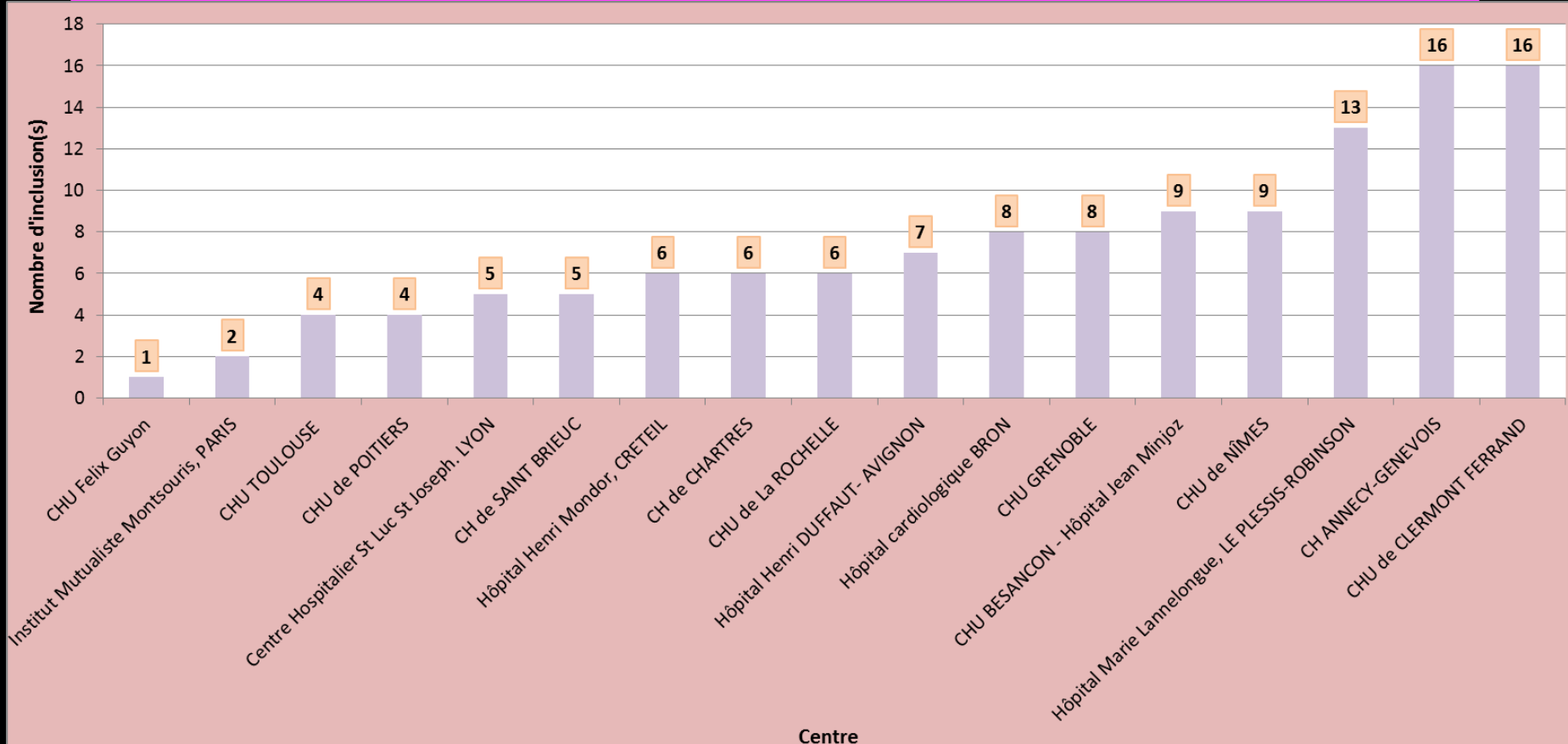
Les mécanismes de thrombose de stent sont multifactoriels mais

- L'OCT aide au diagnostic et à la prise en charge
- La malapposition est la 1^{ère} anomalie morphologique dans PESTO
- Avec l'aide de l'OCT un traitement médical est choisi dans 1 cas/3 dans PESTO



134 patients inclus

Merci aux centres





Merci



gsouteyrand@chu-clermontferrand.fr



STENT THROMBOSIS AND OCT

OCT Analysis in Patients With Very Late Stent Thrombosis

33 very late stent thrombosis

- 27 DES and 6 BMS

- 61 months after implantation for DES – 109 for BMS

OCT in acute phase— **No thrombo-aspiration**

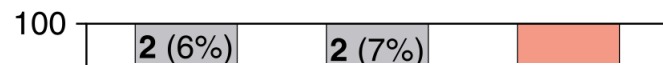
First OCT system with proximal occlusion

	DES	BMS	
Proportion of frames with at least 1			
Uncovered strut, %	12.9 ± 15.5	0.5 ± 1.3	0.072
Malapposed strut, %	7.8 ± 11.1	0.0 ± 0.0	0.050
Proportion of lesions with at least 1			
Frame with uncovered strut	15 (56)	1 (17)	0.085
Frame with malapposed strut	14 (52)	0 (0)	0.020



STENT THROMBOSIS AND OCT

OCT Analysis in Patients With Very Late Stent Thrombosis



CONCLUSIONS

Intracoronary OCT at the time of acute clinical presentation showed that all BMS lesions with VLST and 63% of DES lesions with VLST had in-stent neointimal rupture; and two-thirds of them presented with STEMI, suggesting that advanced neoatherosclerosis was a common and aggressive mechanism of VLST.

al rupture
1 BMS